

Численное исследование особенностей деформации и разрушения хрупких пористых сред на основе метода подвижных клеточных автоматов *

Иг.С. Коноваленко
e-mail: igkon@ispms.tsc.ru

А.Ю. Смолин
Н.В. Роман
С.Г. Псахье

*Учреждение Российской академии наук
Институт физики прочности и материаловедения Сибирского отделения РАН*

В рамках метода подвижных клеточных автоматов проведено численное исследование особенностей деформации и разрушения хрупких пористых сред при одноосном сжатии и простом сдвиге. Рассматривались пористые образцы со стохастическим и регулярным пространственным распределением пор. На основе результатов моделирования показано влияние поровой структуры на скорость генерации и развития повреждений в образцах. Обнаружена корреляция эффективной жесткости пористых образцов и скорости накопления в них повреждений. Показано, что в зависимости от пористой структуры хрупкого материала его режим разрушения может меняться от хрупкого до квазивязкого, а скорость накопления в нем повреждений может иметь пороговый характер.

В настоящее время очень широкое применение в медицине, энергетике, машиностроении получили хрупкие пористые материалы, в том числе – спеченная керамика на основе оксидов металлов [1]. Это предъявляет строгие требования к ее физико-механическим свойствам, а также структуре порового пространства. Трудности экспериментального изучения деформации и разрушения пористых материалов связаны в первую очередь с получением образцов, обладающих заданной величиной пористости и структурой порового пространства, а также с невозможностью детально наблюдать и анализировать картину генерации и развития повреждений. Таким образом, компьютерное моделирование представляется весьма перспективным, для решения данных задач современного материаловедения. Несмотря на большое количество исследований, посвященных особенностям отклика и разрушения пористых материалов [1, 2, 3], вопрос взаимосвязи внутренней структуры материала с его физико-механическими характеристиками и поведением при разрушении в настоящее время остается изученным не до конца. В частности, представляет интерес понять влияние различных пространственных распределений пор в образцах на их прочностные и упругие характеристики, а также особенности их разрушения при механическом нагружении. Целью настоящей работы явилось теоретическое изучение отклика материалов со стохастической и регулярной структурой порового пространства при одноосном сжатии и простом сдвиге.

*Работа выполнена при поддержке гранта МК-5260.2010.8 Президента Российской Федерации для государственной поддержки молодых российских ученых - кандидатов наук.

Изучение деформации и разрушения хрупких пористых сред при сдвиговом нагружении

На основе метода подвижных клеточных автоматов [4] моделировалось поведение пористых керамических (ZrO_2) образцов с различной структурой пор, как регулярной (рис. 1, а-г), так и стохастической (рис. 1, д). У всех образцов поры были вытянуты вдоль направления нагружения и имели одинаковые размеры. Величина пористости образцов составляла 25%, размеры образцов — 1.14×0.624 мм, размер автомата — 0.01 мм. Нагрузка прикладывалась путем задания одинаковой скорости в горизонтальном направлении верхнему слою автоматов, а нижний слой был неподвижен. По горизонтальной оси использовались периодические граничные условия. Задача решалась в условиях плоской деформации. Функции отклика автоматов соответствовали диаграмме нагружения спеченной из нанокристаллического порошка керамики $\text{ZrO}_2(\text{Y}_2\text{O}_3)$ с пористостью 2% и средним размером пор, соизмеримым с размером зерна. Регулярность пористой структуры задавалась четырьмя способами: в первом случае поры в образце повторялись в вертикальном направлении с расстоянием, равным их высоте, а в горизонтальном направлении — равным их ширине. Располагаясь таким образом, поры образовывали вертикальные высокопористые слои материала, чередующиеся с монолитными слоями (рис. 1, а). Во втором, третьем и четвертом случаях поры в образцах были расположены в шахматном порядке (рис. 1, б, в, г соответственно). Разница между этими способами состояла в плотности генерируемых таким образом пор. В образце на рис. 1, д поры были распределены стохастически.

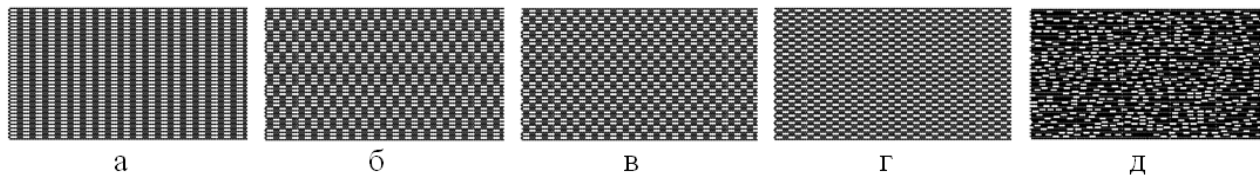


Рис. 1. Структура образцов с различным пространственным расположением пор: а–г регулярным, д – стохастическим

Диаграммы нагружения образцов представлены на рисунке 2, а. У образцов с регулярной поровой структурой (рис. 1, а-г) значения предельных сдвиговых напряжений и соответствующих им сдвиговых деформаций больше, по отношению к ним же у образца со стохастическим распределением пор (рис. 1, д). Образцы с регулярной поровой структурой обладают различными эффективными модулями сдвига при одинаковой пористости. Это связано с особенностями в пространственном расположении пор. У образцов с порами расположеными в шахматном порядке (рис. 1, б-г) эффективная жесткость возрастает с уменьшением количества пор в «клетке». Прочностные свойства образцов повышаются с увеличением их жесткости.

Скорость генерации повреждений в образце оценивалась по зависимости относительного количества разорванных в нем межэлементных связей от деформации сдвига (рис. 2, б). У образцов с периодической поровой структурой (кривые а-г) на кривых можно выделить несколько горизонтальных и восходящих участков. Первые восходящие участки соответствуют образованию повреждений по всему объему образцу без потери им целостности (образец б), в образцах (а, г, в) при этом образуются маги-

стральные трещины. Последующие восходящие участки кривых соответствуют распространению трещины (кривые в, г) или ее образованию (образец б).

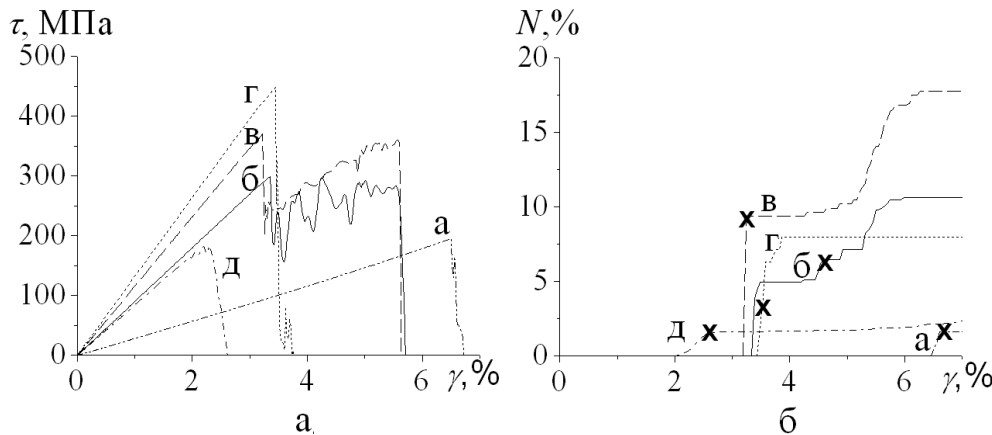


Рис. 2. Модельные зависимости: а – диаграммы нагружения образцов с различной поровой структурой; б – зависимость относительного числа разорванных межэлементных связей N в образце от его относительного сдвига γ . Кривые а–д соответствуют образцам на рис. 1. Момент образования в образце магистральной трещины на кривых отмечен крестом.

Таким образом, результаты моделирования показывают, что в хрупких образцах с регулярной поровой структурой скорость накопления повреждений носит пороговый характер. Это полностью согласуется с экспериментальными данными о том, что после локального разрушения керамика продолжает деформироваться по прежнему закону [5].

Изучение деформации и разрушения пористых сред при сжатии

Рассмотрим поведение модельных образцов с указанными типами поровой структуры (рис. 1) и величиной пористости 25% при одноосном сжатии. Размеры образцов составляли 0.6×1.24 мм. Нагрузка прикладывалась путем задания одинаковой скорости в вертикальном направлении верхнему слою автоматов, нижний слой автоматов был жестко закреплен. Задача решалась в условиях плоской деформации.

Результаты моделирования показали, что образцы с регулярной пористой структурой (рис. 1, а–г) имеют более высокую прочность и эффективные упругие модули (рис. 3, а) по отношению к образцу со стохастическим распределением пор (рис. 1, д). Для образцов с порами, расположенными в шахматном порядке (рис. 1, б–г), наблюдается увеличение эффективной жесткости и прочностных характеристик, а также некоторое снижение предельной деформации (рис. 3, а), при увеличении количества пор входящих в «шахматную клетку». Заметим, что разным типам регулярной поровой структуры (рис. 1, а и рис. 1, б–г) соответствуют разные прочностные и упругие характеристики.

Скорость генерации и накопления повреждений количественно оценивалась на основе зависимости относительного числа разорванных в образце межэлементных связей от его относительной деформации (рис. 3, б). На каждой кривой можно выделить три участка. Первый характеризуется малым углом наклона и соответствует генерации и развитию первых одиночных повреждений. У образцов с регулярной поровой структу-

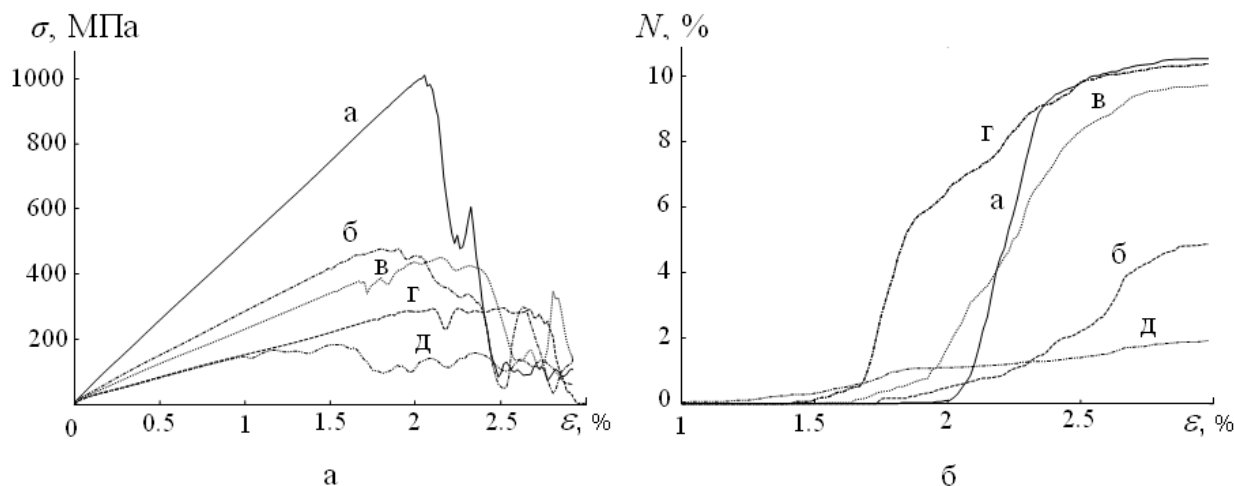


Рис. 3. Модельные зависимости: а – диаграммы нагружения образцов; б – зависимости относительного числа разорванных межэлементных связей N в образце от его относительной деформации ε . Обозначения кривых соответствуют образцам на рис. 1.

рой длина данного участка пропорциональна их эффективной жесткости, а скорость накопления повреждений обратно пропорциональна этой величине. На втором участке в образце происходит образование и развитие системы макротрещин. Он характеризуется наибольшей скоростью роста числа разорванных связей. Третий участок соответствует фрагментации образца. Заметим, что увеличение скорости накопления повреждений с уменьшением эффективной жесткости образцов наблюдается только при одинаковом типе их поровой структуры («в шахматку» рис. 1, б–г). Так, образцы на рис. 1, а, г обладая разными типами периодической поровой структуры и одинаковыми эффективными жесткостями, различающимися практически в 2 раза, тем не менее характеризуются почти одинаковыми скоростями накопления повреждений на второй стадии (рис. 3, б). Образец со стохастическим распределением пор проявляет существенно иную скорость накопления повреждений. Так наклон кривой д (рис. 3, б) на всем ее протяжении меняется незначительно, и вторая стадия, соответствующая распространению макротрещин в других образцах, здесь практически не выделяется. Общее количество разорванных связей при потере несущей способности такого образца в 5 раз меньше, чем для большинства других образцов.

Таким образом, показано, что в образцах со стохастической пористостью может отсутствовать фаза быстрого распространения магистральной трещины и резкого падения несущей способности, характерная для хрупкого разрушения. Это позволяет говорить о возможности квазивязкого разрушения хрупких сред, обусловленного исключительно структурой порового пространства.

Работа выполнена при поддержке гранта МК-5260.2010.8 Президента Российской Федерации для государственной поддержки молодых российских ученых - кандидатов наук.

Список литературы

- [1] Global Roadmap for Ceramics: Proceedings of 2nd International congress on ceramics (ICC2). Edited by Alida Belosi and Gian Nicola Babini. Institute of Science and Technology for Ceramics,

- National Research Council, Verona (Italy), 2008. 833 p.
- [2] Буякова С.П. Свойства, структура, фазовый состав и закономерности формирования пористых наносистем на основе ZrO₂.: дис. ... докт. техн. наук. Томск, 2008. 309 с.
 - [3] Кульков С.Н., Буякова С.П., Масловский В.И. Структура, фазовый состав и механические свойства керамик на основе диоксида циркония // Вестник Томского государственного университета. 2003. № 13. С. 34-57.
 - [4] Псахье С.Г., Дмитриев А.И. Шилько Е.В. и др. Метод подвижных клеточных автоматов как новое направление дискретной вычислительной механики. I. Теоретическое описание // Физическая мезомеханика. 2000. Т.3, №2. С. 5–13.
 - [5] С.Н. Кульков, С.П, Буякова, С.В. Панин Формирование поверхностных структур при деформации пористых непластичных сред // Физическая мезомеханика. Спец. выпуск. 2006. Т. 9. С. 83–86